

УДК 548.0+535.37

**РОЛЬ ОКОЛОАКТИВАТОРНЫХ ЭКСИТОНОВ
В ФОРМИРОВАНИИ СПЕКТРОВ ВОЗБУЖДЕНИЯ
АКТИВАТОРНОЙ ЛЮМИНЕСЦЕНЦИИ И СПЕКТРОВ
СОЗДАНИЯ АКТИВАТОРНОЙ СВЕТОСУММЫ В КРИСТАЛЛЕ KJ-Tl
ПРИ НИЗКИХ ТЕМПЕРАТУРАХ**

Плявинь И. К., Тринклер М. Ф.

Исследуется природа низкотемпературных пиков в спектрах возбуждения активаторного свечения и в спектрах создания активаторной вспышки при высовечивании кристалла KJ-Tl.

Цель данной работы — уточнение природы низкотемпературных интенсивных пиков в спектрах возбуждения активаторного свечения и в спектрах создания активаторной вспышки при высовечивании в F -полосе поглощения (активаторной светосуммы), лежащих в области длинноволнового спада полосы поглощения анионного экситона (при 80 К 218 нм). Эти пики не совпадают с максимумом ни одной известной полосы поглощения кристалла KJ-Tl; поскольку же они расположены в области экситонного поглощения, то логично было бы сопоставить их с поглощением свободных анионных экситонов беспримесной решетки, а несовпадение максимумов объяснить влиянием искажений за счет отражения и других потерь в тонком приповерхностном слое.

Однако есть и принципиально другие возможности объяснения. Одна из них — связать обсуждаемые пики с поглощением локализованного экситона в чистой решетке, которое расположено на длинноволновом «хвосте» полосы поглощения свободного экситона. Другая возможность интерпретации — сопоставление пиков с поглощением анионных экситонов, расположенных вблизи активаторного центра [1]. Полосы поглощения такой природы в литературе обозначаются как D -полосы [2]. В KJ-Tl D -полоса имеет максимум 224 нм при 80 К [3]. В таком случае необходимо было бы считать, что в спектрах KJ-Tl проявляются две D -полосы поглощения, лежащие в области между экситонным поглощением и C -полосой активатора, и обязаны своим происхождением присутствию таллия в решетке (длинноволновая полоса — D_1 , коротковолновая — D_2).

Следует отметить, что наряду с интерпретацией D -полос как полос, связанных с возбуждением околоактиваторного экситона, в литературе имеется и другое толкование их как состояния переноса электрона с аниона лиганда на ион активатора [4, 5]. В настоящей работе авторы стоят на позиции «околоактиваторного экситона», имея в виду слабое изменение спектрального положения D -полос у разных активаторов и большую зависимость его при переходе к разным анионам основания. Проявление нескольких полос поглощения околоактиваторного экситона естественно может быть объяснено различным местоположением возбужденного аниона относительно активатора. Наличие полосы D_2 в кристалле, активированном таллием, и ее значительный вклад в спектры создания центров окраски были показаны в [6] на примере кристалла KCl-Tl. О двух D -полосах в спектре поглощения кристалла KJ-Tl сообщается в [4], однако приведенный там спектр поглощения не отличается убедительностью. Обнаружение D_2 в спектре поглощения KJ-Tl затруднено тем обстоятельством, что оптическая плотность в соответствующем спектральном районе

имеет большое значение благодаря поглощению свободных экситонов, и задача сводится, таким образом, к непростому наблюдению полосы поглощения, связанной с присутствием таллия, на фоне более сильного экситонного поглощения чистого кристалла.

В работе для достижения поставленной цели измерены и сравниваются между собой спектры возбуждения активаторной люминесценции, спектр создания *F*-вспышки и спектр поглощения кристалла КJ-Tl. Все эти спектры были получены раньше, но разными авторами, на разных кристаллах, разных установках и отличающихся температурах, что затрудняет сравнение их между собой. В данной работе наибольшее внимание уделяется методическому вопросу обеспечения одинаковых оптимальных условий эксперимента, гарантирующих хорошее разрешение составных полос спектров при достаточно малой ошибке измерения, т. е. достаточной интенсивности исследуемого излучения.

Методика измерений

Спектры возбуждения активаторной люминесценции и создания активаторной *F*-вспышки измерялись на оптической установке, в которой источником ультрафиолетового возбуждающего света служила дейтериевая лампа ЛДД-400, а для монохроматизации ее света использовался монохроматор МДР-2. В качестве анализирующего монохроматора служил монохроматор SPM-2 (Karl Ceiss); сигнал регистрировался под прямым углом к направлению возбуждающего света при помощи ФЭУ-100 и компенсационного самописца К-201 (Karl Ceiss). При измерении спектров создания активаторной светосуммы предварительно облученный ультрафиолетовым светом кристалл освещался светом лазера ЛГ-38 ($\lambda=633$ нм) с противоположной стороны по отношению к возбуждающему свету. После открывания затвора перед лазером на самописце регистрировался импульс вспышки, в первом приближении состоящий из быстрого и медленного компонентов как при 80, так и 10 К. В работе использованы только спектры создания быстрой компоненты *F*-вспышки. Спектр стимуляции вспышки при низких температурах здесь не обсуждается. В его состав могут входить как *F*-полоса поглощения КJ (633 нм попадает в коротковолновый край этой полосы), так и другие полосы электронных центров окраски, поэтому название «*F*-вспышка» имеет условный характер и используется в работе для краткости выражения.

Исследуемый кристалл помещался в гелиевый криостат, где стабильно поддерживались температуры 80 и 10 К. Спектры поглощения измерялись на спектрофотометре Specord-UV-VIS, в камеру которого помещался тот же криостат.

Особое внимание уделялось подбору значений ширины щели монохроматора МДР-2 и концентрации активатора в кристалле для получения оптимальных спектров. Для примера на рис. 1 приведены спектры возбуждения активаторной люминесценции в области 200—250 нм при различных значениях ширины щели *d* и двух значениях концентраций активатора. Из рис. 1 видно, что структура спектра (форма и положение максимумов подполос) в общем зависит от величины щели, но при малых значениях *d* (до 1 мм) в указанной спектральной области эта зависимость практически отсутствует, и значение *d* может быть выбрано произвольно вплоть до 1 мм. Что касается концентрации активатора, то ее выбор определяется необходимостью малых значений оптической плотности в области *C*-полосы поглощения активатора. В противном случае отдельные полосы сливаются в одну широкую полосу, поэтому для исследования спектров возбуждения люминесценции выбирался кристалл с малой концентрацией активатора ($c=6 \cdot 10^{-5}$ мол %). Для спектров создания активаторной вспышки использовался кристалл с большей концентрацией ($c=1.85 \cdot 10^{-3}$ мол %), так как интенсивность сигнала от кристалла с меньшей концентрацией имела недостаточную для надежных измерений величину. Разные оптимальные концентрации для измерения спектров возбуждения примесной люминесценции и спектров создания *F*-вспышки оправданы тем обстоятельством, что в спектре создания одна из центральных полос из спектра возбуждения (228 нм) практически отсутствует и не налагается на соседние полосы.

При измерении спектра поглощения использовался кристалл с $c=1.85 \times 10^{-3}$ мол% толщиной 0.15 мм. Малая толщина кристалла позволила получить на спектрофотометре (максимальная оптическая плотность 1.4) оптическую плотность, меньшую 1.4 в районе 215 нм при 10 К.

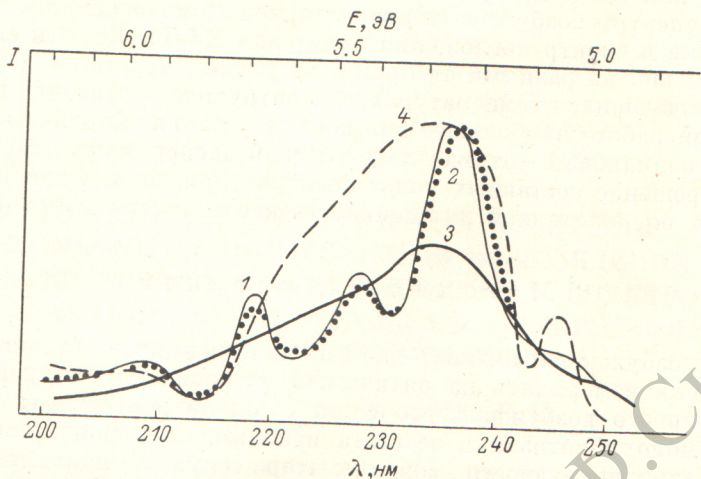


Рис. 1. Спектры возбуждения полосы 430 нм кристалла KI-Tl при 80 К.
 1—3 — концентрация активатора $c=6 \cdot 10^{-5}$ мол%, 4 — $c=1.85 \cdot 10^{-3}$ мол%; 1, 4 — щель монохроматора
 МДР-2 $d=0.3$ мм, 2 — $d=1$ мм, 3 — $d=4$ мм.

В заключение методической части следует отметить, что при измерении спектров при 80 К выделялась область люминесценции 425 нм, а при 10 К — 336 нм, что соответствует основным активаторным полосам излучения при этих температурах.

Результаты измерений

На рис. 2 представлены экспериментальные спектры возбуждения активаторной люминесценции и спектры создания активаторной F-вспышки для 80 и 10 К, исправленные на распределение интенсивности лампы ЛДД-400. Для 10 К приведен также измеренный спектр поглощения. Из полученных спектров можно сделать следующие выводы.

Спектр возбуждения примесной люминесценции в районе 200—240 нм при обоих значениях низких температур состоит из четырех полос, самая коротковолновая из которых соответствует полосе экзитонного поглощения, а две длинноволновые полосы — известным C- и D (D_1)-полосам таллиевого центра. C-полоса соответствует электронному переходу $^1S_0 \rightarrow ^1P_1$ в ионе таллия, а D_1 — возбуждению околоактиваторного экситона. Полосу с максимумом 218 нм при 80 К и 215 нм при 10 К можно сопоставить со второй полосой поглощения околоактиваторного экситона (полоса D_2). На общую природу полос D_1 и D_2 указывает одинаковая форма этих полос — полуширины полос практически не отличаются.

Обсуждаемый максимальный пик в спектре создания F-вспышки при обеих температурах прекрасно совпадает и по максимуму, и по форме с полосой D_2 . Без колебаний можно утверждать, что основная полоса в спектре создания имеет ту же природу, что и соответствующая полоса в спектре возбуждения. Это обстоятельство, а также отсутствие соответствующего максимума в спектре возбуждения свечения локализованного «чистого» экситона (полоса 375 нм при 80 К), измеренного в работе (рис. 2), свидетельствует о том, что обсуждаемая полоса носит самостоятельный характер, и не является результатом искажения поглощения «беспримесного» анионного экситона.

На самостоятельный природу полосы D_2 по отношению к экситонной полосе поглощения указывает также различие в их отклике на предварительное облучение в полосе D_2 при измерении спектра создания активаторной свето-суммы (рис. 2). Предварительное облучение в максимуме полосы D_2 в течение

5 мин практически не изменяет ни интенсивности, ни формы D_2 -полосы в спектре создания, но коренным образом усиливает часть спектра, относящуюся к области экситонного поглощения. Объяснение этого эффекта авторы предполагают дать в другой статье, здесь же обращается внимание на независимость формирования полосы D_2 от экситонного поглощения в чистой решетке.

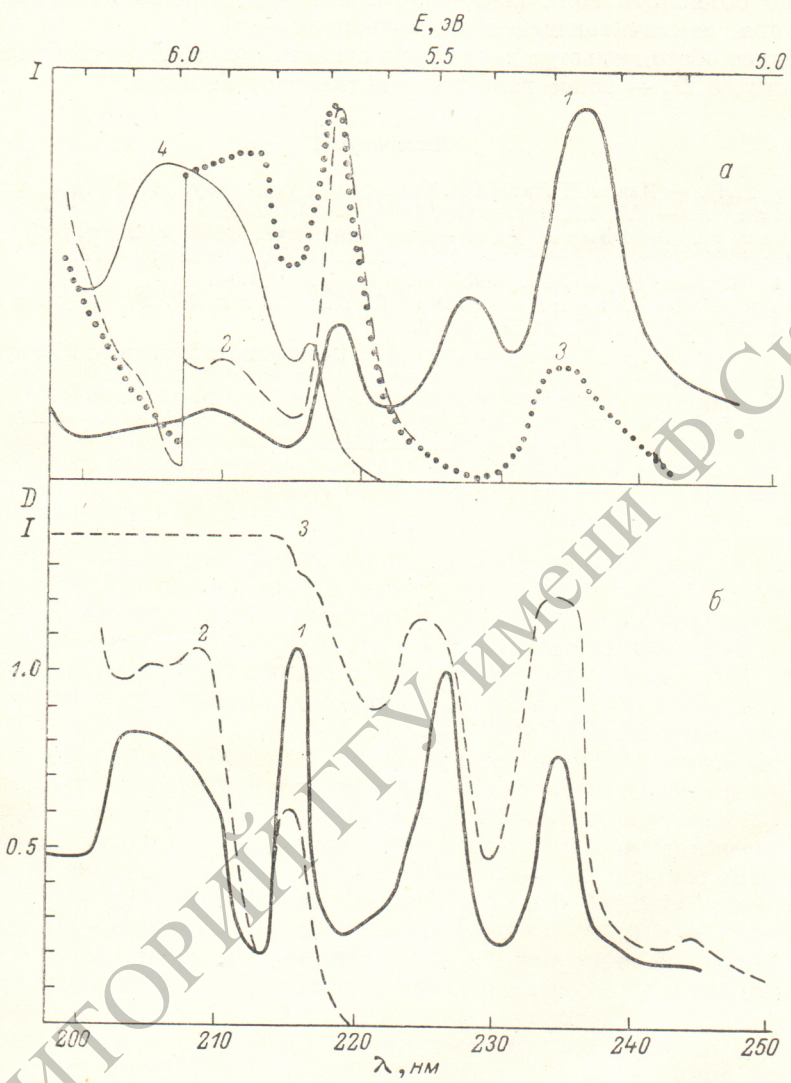


Рис. 2.

a — $T = 80$ К. 1 — коротковолновая часть спектра возбуждения полосы 430 нм в кристалле KJ-Tl, $c = 6 \cdot 10^{-5}$ мол %, щель монохроматора $d = 1$ мм. 2, 3 — спектры создания быстрого компонента активаторной светосуммы KJ-Tl, $c = 1.85 \cdot 10^{-3}$ мол %, $d = 1$ мм до (2) и после (3) предварительного облучения светом 218 нм в течение 45 мин; 4 — спектр возбуждения свечения автолокализованного экситона ($\lambda = 375$ нм), $d = 1$ мм.
b — $T = 10$ К. 1 — коротковолновая часть спектра возбуждения полосы 336 нм кристалла KJ-Tl с $c = 6 \cdot 10^{-5}$ мол %, $d = 0.3$ мм. 2 — спектр создания активаторной светосуммы кристалла KJ-Tl с $c = 1.85 \times 10^{-3}$ мол %, $d = 1$ мм. 3 — спектр поглощения KJ-Tl, $c = 1.85 \cdot 10^{-3}$ мол %, толщина кристалла 0.15 мм.

Обнаруженная при 10 К в спектре поглощения KJ-Tl ступенька (рис. 2) в свою очередь указывает на то, что обсуждаемая полоса связана с введением в кристалл активатора Tl, поскольку у чистого KJ в этом районе нет никакой структуры.

Таким образом, результаты работы свидетельствуют в пользу того, что у KJ-Tl проявляется вторая D -полоса (D_2), которая является самой интенсивной в спектре создания F -вспышки «свежего», т. е. малооблученного, кристалла. Обсуждение физических следствий из этого результата не входит в задачу работы, но коротко можно отметить, что одним из таких следствий следует при-

знать большую эффективность создания стабильных дефектов при возбуждении околоактиваторных экситонов, указывающую на то, что роль активатора состоит в значительном увеличении доли стабильных компонентов френкелевских дефектов по сравнению с возбуждением невозмущенного экситона. Возбуждение в D_1 -полосе не дает заметного вклада в спектр создания F -вспышки, что можно объяснить конкуренцией с более эффективной передачей энергии иону таллия, заканчивающейся его свечением.

Последнее обстоятельство дает право связать полосу D_1 с возбуждением более близких, а D_2 — более далеких к активатору анионов.

Литература]

- [1] Вале Г. К. — Изв. АН ЛатвССР. Сер. физ. и техн. наук, 1981, № 5, с. 10.
- [2] Fukuda A. — Sci. Light (Tokyo), 1964, v. 13, p. 64.
- [3] Yuster P., Delbecq G. I. — J. Chem. Phys., 1953, v. 21, p. 892.
- [4] Tsuboi T., Sakoda Sh. — Phys. Rev., 1980, v. B22, p. 4972.
- [5] Knox R. S. — Phys. Rev., 1959, v. 115, p. 1095.
- [6] Лущик Ч. В., Васильченко Е. А., Колк Ю. В., Лущик И. Е. — Тр. ИФ АН ЭССР, 1983, № 54, с. 38.

Поступило в Редакцию 25 апреля 1985 г.